

73.4
607
-1

高等学校教学用书

通 信 線 路

陈恩霖 簡水生 編著

人 民 鐵 道 出 版 社

一九六三年·北京

102840

本教材系铁道部教材编审委员会组织审定。适合于铁路高等院校有线通信专业教学使用，是按59年教育计划和针对教学时数为100～120学时而编写的。

内容包括有：架空明线路、对称电缆线路、同轴电缆线路和长途波导线路等结构；各种通信线路电气特性；各种通信线路回路间的互相干扰及防护方法；强电对通信线路的影响及防护方法；地下电缆腐蚀原因及防护方法；电缆线路充气维护。

全书共分八章，第一章、第二章、第三章、第五章、第七章及第八章是陈恩霖编写的，绪论、第四章及第六章是简水生编写的。

主编学校：北京铁道学院电信系教研组

编 著者：陈恩霖、简水生

高等学校教学用书

通信 电 缆 路

陈恩霖 简水生 编著

人民铁道出版社出版

(北京市霞公府 17 号)

北京市书刊出版业营业登记证字第 010 号

新华书店北京发行所发行

北京市印刷一厂印

书号 1866 开本 787×1092 $\frac{1}{16}$ 印张 19 $\frac{1}{2}$ 字数 553 千

1962 年 7 月第 1 版

1962 年 7 月第 1 版第 1 次印刷

印数 0.001—810 册 定价 (10)3.00 元

目 录

緒論	1
第一章 架空通信電線路的組成及其機械強度的計算	3
§ 1·1 架空通信電線路的組成及其等級和類型	3
§ 1·2 架空通信電線路的元件	3
§ 1·3 架空線路導線計算	11
§ 1·4 電杆強度計算	25
§ 1·5 拉線和撐杆計算	30
§ 1·6 A型角杆強度計算	37
第二章 通信電纜線路的組成及通信電纜的構造	39
§ 2·1 長途電纜線路概說	39
§ 2·2 對稱通信電纜的結構	39
§ 2·3 主要對稱通信電纜類型	45
§ 2·4 同軸電纜特性	49
§ 2·5 同軸電纜的結構	51
§ 2·6 主要同軸電纜類型	54
§ 2·7 電纜線路附件	56
§ 2·8 電纜管道設備	57
第三章 通信電線路電氣參數和電氣特性	59
§ 3·1 通信電線路一次參數	59
§ 3·2 二次參數和傳輸問題	77
§ 3·3 電纜加減	96
§ 3·4 架空線路中介入電纜	111
第四章 實頻帶長途通信波導	118
§ 4·1 概述	118
§ 4·2 規則圓波導的基本傳輸原理	118
§ 4·3 波型的相速和群速及特性阻抗	123
§ 4·4 波導中波的衰減	124
§ 4·5 伴流和因波導結構的不規則性所帶來的附加衰減	128
§ 4·6 螺旋波導	130
§ 4·7 介質膜波導	132
§ 4·8 “开”波導	134
第五章 通信回路間的干擾和防護措施	135
§ 5·1 架空明線回路間的互相干擾	135
§ 5·2 架空明線線路防止漏話的措施	144

102840

§ 5·3 对称电缆回路间的互相干扰	171
§ 5·4 对称电缆线路防止回路间漏话的措施	176
§ 5·5 同轴电缆线路对间的干扰及其防护措施	201
第六章 通信线路受强电的影响及其防护方法	209
§ 6·1 概述	209
§ 6·2 不对称输电线路在通信线上所感应的电流电压的分布情况	213
§ 6·3 不对称输电线路对通信线路的影响	217
§ 6·4 对称输电线路（中心点接地或中心点绝缘的三相输电线路正常运行时） 对通信线路的影响	234
§ 6·5 通信线路承受输电线路影响的允许值	239
§ 6·6 通信线路对强电线路感应影响的防护	240
§ 6·7 通信线路对雷电影响的防护	263
§ 6·8 风沙和磁暴对通信线路的影响	267
第七章 地下电缆的防蚀	268
§ 7·1 地下电缆腐蚀的种类和原因	268
§ 7·2 位在漏洩电流区的电缆外壳的电位	271
§ 7·3 关于电缆防蚀的电气测试	274
§ 7·4 防止电缆腐蚀的方法	276
第八章 电缆线路的气压维护	282
§ 8·1 概述	282
§ 8·2 供气设备	283
§ 8·3 充气段系统	284
§ 8·4 自动控制和告警信号系统	284
§ 8·5 测查漏气点的方法	286
附录：	
附录 I 对称电缆的电气参数	298
附录 II 架空明线电缆的二次参数	301
附录 III 同轴电缆电气参数	303
附录 IV 通信电缆线路附件规格	306

緒論

一、通信系統在鐵路運輸中的作用及通信電線路在通信系統中的地位

為了保證鐵路運輸的正常運行和提高鐵路運輸率，為了使鐵路運輸在社會主義建設中充分的發揮“先行”的作用，鐵路部門就必需具有結合自身特點的、完整的、可靠的通信系統。

現代的電氣通信可分為無線和有線兩大類，但它們都有著各自的優缺點。無線通信的優點是不需要建設通信電線路設備，而且運用時也比較簡便。但是它易受外界干擾，穩定性和可靠性較差。有線通信雖然要用較大的投資去建設通信電線路，但它比較不易受外界干擾，有著較高的穩定性和可靠性。因此，有線通信目前還是主要的通信方式之一，尤其在目前的鐵路通信系統中，有線通信還是居於比較重要的地位。

有線通信設備，可分為機械設備和線路設備兩大部份。線路設備是將分布在沿線各個點上的機械設備聯繫起來，構成通信系統的有機的整体，如果沒有質量較高的通信電線路，則不可能有質量優良的通信。並且通信電線路在通信設備投資中，占有較大的比例。（一般都在百分之六十以上）。因此，研究如何在技術方面合理的而且是經濟的設計和建設通信電線路，研究如何更合理的復用和用先進方法維護通信電線路，這便是我們有線通信工作者的重要任務。

二、通信線路發展簡史

有線通信的起源遠在 1812 年，那時俄國在彼得堡就已建立了第一條電極電纜，在 1850 年製成了第一部電極打字機。近代電話機的原形在 1876 年就已經發明了。在 1876 年到 1900 年遠距離通信是靠明線來完成的，在 1900 年由於倡議在電纜線路中採取集總加減的方法使電纜的傳輸距離增加了四倍（達一百多公里）。但對增大有線通信距離有決定性意義的是 1912 年以後，電子管放大器開始在有線通信方面的運用，使得通信不再受距離的限制。此後，有線通信走上了向高頻多路復用發展的全新的道路。

我國在解放以前，由於處在半封建、半殖民地的地位，生產落後，所以通信設備也是很落後的，長途通信一般是使用架空明線，線對數量及復用頻率都較小。在主要幹線上只有三路載波，解放後在黨的領導下隨著社會主義建設事業的發展，通信設備發展也很快，在第一個五年計劃期間，鐵路長途通信線路比 1949 年增加了百分之七十四，同時廣泛的採用了三路和十二路載波通信，58 年大跃進以來通信電線路不但在數量上有了大的發展，而且在交叉設置和多路復用上也獲得了進一步的成功。在通信電纜製造上也獲得迅速發展，已經試製成能通六十話路的 MKB 型電纜，和交流電氣化鐵路區段上的特殊屏蔽電纜，隨著社會主義建設事業的蓬勃發展，有線通信事業也必將得到更進一步的發展。

三、各種通信電線路的比較及其發展方向

現代通信的基本趨勢是向高頻多路復用方向發展。顯然，如果在線路上傳輸的頻帶愈寬，那麼復用的路數也就愈多，也就可能愈經濟。這樣，就可以用所能通過的頻帶的寬度作為評價各種類型通信電線路的基本指標。下面我們將就這一論點來討論各種類型的通信電線路。

1) 架空明線

架空鐵線回路，使用的頻率可達 27 千赫，可以開通三路載波，劇烈增加的衰耗限制了

向更高频率的发展。

架空铜缆回路，目前使用的频率达 150 千赫，一个回路上可以通 16 个话路，话路相互间的漏话和无线广播的干扰，限制了它采用更高的频率。

与其他各种类型的通信线路（如通信电缆线路）比较起来，每一话路的耗铜率是大的。然而架空明线修建起来比较容易，工艺要求可以低一些，修建的基本投资也比较低，在话务量不大的通信区段，采用架空明线还是比较合理的。因此，在目前这个阶段，架空明线还是铁路通信线路的主要形式。

2) 对称电缆

对称电缆复用频率的类型有很多种，其中比较常用的是 24 路（复用频率达 108 千赫）。60 路（复用频率达 252 千赫）。另外还有 120 路和 180 路两种，（其复用频率分别达到 552 千赫和 800 千赫）。由于在电缆金属（心线，铅包，铠装钢带）中涡流损耗是与频率的平方成正比的。这就限制了对称电缆向更高的频率发展。另外，频率再高时其漏话衰减和防卫度也达不到标准。在铁路部门，普通话路所占的比重比较大，因此，它所采用的对称电缆是高低频混合电缆，其中音频回路是采用集总加感制，而高频回路复用的频率达 150 千赫。目前在电气化区段采用的对称电缆是比较肯定的方向。

3) 同轴电缆

同轴电缆复用的频率可高达 8 至 12 兆赫，可以传输 1920 个话路或 2700 个话路，或是传输一个彩色电视节目。莫斯科到列宁格勒的电话就是用同轴线对传送的。同轴线对的优点是：

- a) 能传输极为宽阔的频带而具有比较小的衰减
- b) 有着高度的屏蔽性能
- c) 每一话路的投资比较经济

4) 波导

如果要传输更高、更宽的频带，那就必须利用波导线路，这种传输线路只能传递波长和它截面的几何尺寸是同量级的电磁波，或是波长更短的波。在图 (0-1) 中输出了各种类型的通信线路的衰减与频率的关系曲线。从图中可以明显的看出，对称线路在低频时有着较低的衰减，在高频时其衰减却非常剧烈的增加，而波导线路却恰恰相反，它不能传输低频，但在高频频段 ($10^3 \sim 10^{10}$ 赫) 有着小的衰减。尤其使我们感到最大兴趣的是 H_{01} 波，它的衰减随着频率的上升而下降。同轴电缆的衰减在所有的频段范围内随着频率的上升而平稳的增加。

从前，波导一般只作为天线的馈电电缆等之用，只是当对 H_{01} 波进行了比较成功的

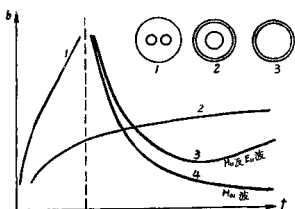


图 0-1 各种通信线路的衰减与频率的关系
曲线 1—对称线路
曲线 2—同轴线路
曲线 3 和 4—波导线路

研究后，才给波导成为长途通信线路提供了可能性，而且可以毫不夸大的说，波导将为整个通信事业带来一个重大的技术革命，将为整个通信事业开辟一个崭新的历史时期。

第一章 架空通信电线路的组成 及其机械强度的计算

§ 1·1 架空通信电线路的组成及其等级和类型

架空通信电线路是将导线挂设在电杆上部隔电子上面组成的。电线路暴露于室外大气之中，为了保证线路的安全和正常的运用，电杆、导线、隔电子和装设隔电子的横担都必须有足够的机械强度。此外还须适当的采用拉线（或撑杆）及地中横木等加强设备，以防止电线路倾倒。电杆、导线、横担、隔电子、拉线等各种构成电线路的器材的性能和质量直接影响通信传输质量和线路使用年限，因此对其特性要有充分的了解，在选用材料时应进行必要的试验和检查，在设计时须进行必要的计算，即要求有一定的强度，也要注意经济。

为了减轻电线路各回路间互相干扰，可以按照回路的用途分别将它们架在适当的位置上，并施以交叉，因此规定出定型的杆面（标准型式，可参考铁道部制定的市外通信电线路建设规则）及每回路所应选择的交叉方式（参考交叉规则）。一般规定杆面的原则是将高频率复用长距离的回路和行车调度等重要回路设在上层，短距离回路和次要的回路设在下层。高频率复用回路互相间距要远，一般多架设在不相邻的横担的两端上。

在长途线路上有时需要附设市内电话回路、站内扳道电话回路、信号线（传送直流电）和电缆时，则将市内线、扳道电话线设在市外线上边，其次信号线，在最下边挂设电缆。

架空电线路根据其用途及其重要程度分为三级，以便在质量要求上有所区别。

第一级线路——铁道部与各铁路局（总局、工程局）间及各铁路局相互间的通信线路。其上挂有长途干线电话回路。

第二级线路——铁路局与各办事处及各站段间相互间的通信线路，其上挂有局线电话回路。

第三级线路——一般地区电线路，不属于以上两项的长途通信线路者。

通信线路由于建筑地区气候条件不同，又分为以下四种类型，在设计时要分别对待，以保证线路有适合该地区条件的强度。

1. 轻便型线路（O型）——用于挂冰轻微，导线挂冰厚度在5毫米以内，或挂霜雪时其厚度不超过20毫米的地区，或不挂冰区，但风速在28米每秒以下者。

2. 普通型线路（H型）——用于一般挂冰，导线挂冰厚度在5~10毫米，或挂霜雪厚度超过20毫米的地区，或不挂冰，但风速在28~36米每秒之间者。

3. 加强型线路（J型）——用于挂冰较厚，导线挂冰厚度在10~15毫米的地区，或不挂冰地区，但风速在36米每秒以上者。

4. 特强型线路（OV型）——用于挂冰严重，导线挂冰厚度在15~20毫米的地区。

§ 1·2 架空通信电线路的元件

1. 电杆：电杆是架空线路的重要元件之一，它担负导线隔电子和杆上各附件的重量，电杆自重、导线的拉力及风压以及冰雪的重量，电杆应满足以下的要求：

- (1) 要有足够的机械强度；
- (2) 使用年限长；
- (3) 价格低廉。

架空鐵路里可以采用木杆、鐵杆和鋼筋水泥杆。木杆富有彈性，容易取得，便于運搬，價格低廉，因此一般多采用木杆。

通信线路所用的木杆，应选择品质坚实，标直而不腐朽的木材。凡有巨节、死节、劈裂等毛病的木材均不宜选用，实际上多用各种松材及杉材。

木杆直径增加率，应在 $0.8\sim1\%$ 以内，弯曲程度不得超过 3% 以上，施工中不允许将弯曲的木材削直后勉强使用。

作为电杆的木材，原则上应在秋冬采伐，在春夏采伐的含有大量的树液，容易腐朽。

沒有經過防腐處理的木杆，其使用年限是很短的。它們很快地受到腐蝕，即被寄生在木材中的菌類所損壞（在我國南方各省木杆常遭白蟻損壞），因此未經防腐處理的木杆平均壽命一般僅達5年左右。

通信线上一般应采用经过防腐处理的木杆，或者在立杆时采取防腐措施。木杆的防腐方法有两种——工厂法和包紮法（中国现场最简单的防腐方法是在电杆埋设部分涂上防腐油）。

防腐时，浸注的只是白木质部分，因为它的细胞是传导水分的。树心部分不受浸注，因为它的细胞被各种沉淀物所填塞。正因为这样，这部分也不要浸注。

杀死木材菌类最好的浸注材料是克鲁苏油(干馏煤炭的产物), 氟化钠, 氯化锌等。前一种用于工厂法, 后两种用于包黏法。

包紮法是在立杆时进行，包紮后的外形如图1·1所示，一般可仅包紮上部一道，如果在土壤中，整个电杆埋藏深度都易发生腐朽时，则包紮两道。立在沼地的电杆其地面上部分容易腐烂，因此包紮时，应使其下部边沿在地面或水面上如图1·2所示。工厂法是在专门的工厂中密封的大圆筒内进行。它们的詳細作法可參看有关参考文献。用包紮法防腐过的木杆使用年限为10~12年，用工厂法防腐过的木杆使用年限可至25年。

最近几年来，由于钢筋水泥的电杆和接腿在技术经济上比木杆和木接腿有着许多优点，所以它们在通信线路上得到了广泛的应用。

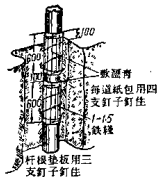


图 1·1 包裹防腐法(单位: 毫米)

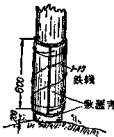


图 1·2 沼地包柔防腐法(单位: 毫米)

电杆依其构造可分为单杆和复杆两种。单杆构造简单，一般只用一根电杆，有时需要接腿。复杆是由多杆组合而成，主要的有且杆、三角杆、四角杆、双杆等。

电杆依其用途又分为中間杆、角杆、引入杆、終端杆、分歧杆、試驗杆、跨越杆、电缆杆等。茲将电杆的类型和构造分述于后。

(1) 单杆——这种电杆构造最简单，用一根杆子做成(图1-3)。用于直线线路的叫中杆，用于曲线线路的叫做曲臂杆或角杆。角杆即需加设拉线或撑杆。

(2) 試驗杆——為試驗障礙和電氣測量時斷續及換線方便起見，在車站和必要地點設置試驗杆。它的類型可根據實際需要用單杆、H杆、三角杆或四角杆。在試驗杆上應設有地綫、工作台和步杆釘等以便工作。試驗杆上導線串接有試驗螺絲以便斷開、連接，導線互混或接地。如有引入電纜時並應加設電纜箱。圖1-4所示，為試驗杆的一例。

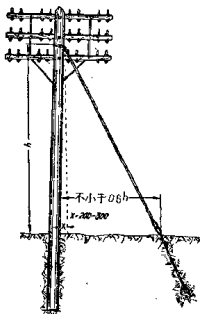


图 1-3 带拉线的单杆

(3) 引入杆——将外綫由其引入到電話局、電報所或車站等房舍內的电杆叫做引入杆或称終端杆。

根据导綫数量和气候条件，引入杆可用帶拉綫或撐杆的单杆，或帶撐杆或拉綫的双杆。图1·5为引入杆的一例。

(4) H杆——用于跨越河流、山谷、鐵路等杆距較長的地方，以及池沼地帶。原則上应使用整根电杆。用拉綫或撐杆加固，如图1·6所示。当长度太长时可用接杆。

(5) 电纜杆——是架空綫与架空电纜或地下电纜互相连接的电杆。这种电杆上設有电纜分綫箱、地綫、工作台及步杆釘等设备。图1·7为电纜杆之一例。

(6) 分歧杆——一条綫路分为两条时或将一部分回綫引向車站等处，在分歧点設分歧杆。图1·8所示为分歧杆之一种。

(7) 接杆——在鐵路跨越鐵路或公路等处必须加高电杆时或电杆下部腐朽而上部可用时采用接杆。接杆可分为单腿接杆和多腿接杆二种。

单腿接杆当电杆不太高（約在8.5米以内）或既有綫路电杆下部腐朽时使用之。新綫路的电杆高度不足时亦常用之，其构造如图1·9所示。

多腿接杆用于电杆較高（超过8.5米以上）的时候。一般多用二腿，也叫做人形杆，其构造如图1·10所示。特殊高的电杆可以用多次接腿，再用拉綫加固。

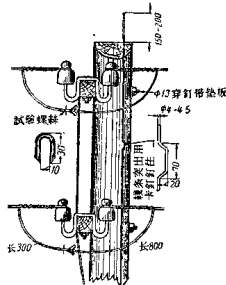


图 1-4 試驗杆(单位：毫米)

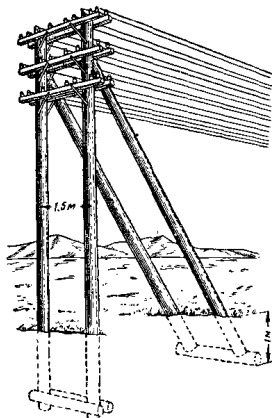


图 1-5 引入杆

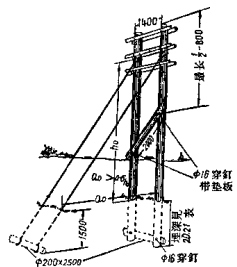


图 1-6a 拉线 H 杆

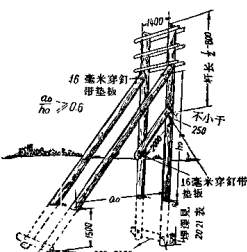


图 1-66 前撑巨杆

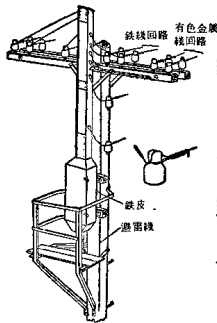


图 1·7 单电鞭杆

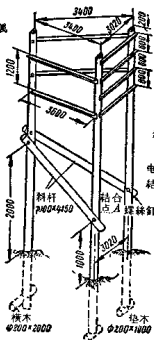


图 1-8 三角分线杆

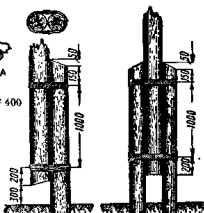


图 1-9 单接杆 图1-10 双腿接杆

2. 导 线

架挂在線路上用來傳導訊號電流的導體叫做導線。

通信電線路上所用的導線應該具有較大的機械強度，較長的使用年限和低的電阻系數。此外還希望當沿線路傳輸電流的頻率提高時，導線電阻增加的不多。而硬拉銅線比較能滿足這些要求，故用作高頻回線。

硬拉銅線的抗張強度极限为 39 公斤/平方毫米。除了銀以外，銅的电阻系数在所有金属中是最小的。在空气中，导線上复盖着一层氧化銅的薄膜，在氧化銅薄膜的下面，銅線几乎不再发生腐蝕。

由于铁线有相当大的电阻系数和变化极为显著的阻抗频率关系，故这种导线只能用来传输频率较低的信号（40千赫以下），适于音频地方性回线用，现在也向开通三路载波方向发展。

在铁线上镀上一层锌或在铁中加一些铜都可以延长铁线的使用年限。含铜量为0.2~0.4的铁线，电阻系数比铁稍大，并不影响铁线的强度，但能很好地抵抗腐蚀，从而使它的寿命延长到原来的1.5倍。

强度极限为120~140公斤/平方毫米的高强度钢线，可以用来作成3×2.2毫米、7×1.4毫米和7×2毫米的绞线，可以作为跨越河流或电气铁道之用。为了同一目的亦可采用强度极限为70~75公斤/平方毫米的青铜绞线。

除铜线和铁线之外，在通信线路上还采用双金属线（铜包钢线）。按重量计，双金属线内含有50%的特殊钢和50%的铜。双金属线的机械强度高于铜线和铁线，而高频电流的衰减与铜线几乎一样。因此它适用于高频通信。

为了节约铜，现在试用铝线以代替铜线。铝线有4.5, 4.0, 3.5毫米铝镁合金线，还有7×1.6, 7×1.8及7×2.0铝钢心绞线。铝合金线在南方试用，铝钢筋绞线在北方试用。

在长途架空线路上多用直径为4.0, 3.5, 3.0, 2.5毫米的硬拉铜线和直径为5.0, 4.0毫米的铁线以及直径为4.0和3.0毫米的双金属线。市内架空线路则用直径较细的导线。

常用通信导线的物理和机械性质如表1.1所示。

线路上用的导线的物理及机械性质

表 1·1

导线的物理及机械性质	单 位	导 线 的 材 料			
		钢 线	硬拉铜线	铜包钢线	铝镁合金线
比重	克/立方厘米	7.86	8.9	8.3	2.7
线膨胀系数 α		12×10^{-6}	17×10^{-6}	12×10^{-6}	23×10^{-6}
弹性系数 E	公斤/平方毫米	20,000	13,000	19,000~20,000	6,500
极限强度 σ_{ap}	公斤/平方毫米	37~44	39~43	55~75	17.7~39
弹性限度 F	"		28		11.3~23.4
弹性伸长系数 β	平方毫米/公斤	50×10^{-6}	77×10^{-6}	52.5×10^{-6}	154×10^{-6}
直流电阻 ($t = +20^{\circ}\text{C}$)	欧姆·平方毫米/公里	138~146	17.9		28.7
直流通阻变化的温度系数		0.00455	0.00393	0.0041	0.0039

接焊铜导线时使用接线管或用软铜线作为绑线，常用者为直径1.4毫米和1.6毫米的软铜线。接焊铁导线时使用镀锌铁线，常用者为直径1.6毫米和1.8毫米的镀锌铁线。

往瓷瓶上绑扎铜线时用软铜线作为绑线。常用者为直径1.6毫米的软铜线。往瓷瓶上绑扎铁线时用铁线作为绑线，在通信线路里常用者为直径1.6毫米的镀锌铁线。

导线应品质均匀、表面光滑、确为圆柱形，无斑点、裂伤等缺点。并应符合规定的物理和机械特性。

3. 隔 电 子

架设通信电缆用的隔电子应当具有很高的绝缘电阻和很大的机械强度。对隔电子来说，瓷是最好的材料，因此在通信线路上多采用瓷制隔电子。国外也有采用玻璃隔电子的，但应采用特制的玻璃。因为用普通玻璃制成的隔电子其绝缘电阻极不稳定，天气干燥时电阻很大，天气潮湿时却很小。

低频时隔电子的漏泄电流是以导线沿着隔电子的外表面和内表面而流向直脚去的，漏泄电流的大小和这个途径的长度成反比。因此通信线路上采用的隔电子都做成双层。

架挂在瓷隔电子上的通信回路，其导电依空气湿度而急剧地变化。在潮湿天气，导线的绝缘电阻减少到每公里1兆欧。对于高频电流来说，隔电子的电导还决定于材料的介质损耗。

瓷制隔电子又名叫瓷瓶。是用长石、石英和陶土等经造型焙烧而成。表面均需涂釉，须

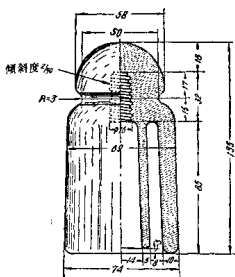


图 1-11 二层大号瓷瓶

瓷瓶穿钉和弯钩是支持导线的元件。它除承担着瓷瓶和导线的重量以及导线上冰雹重量之外，还担负着导线所受的侧面风力或曲线路时异线的拉力，因此它应有一定的强度。

这些元件都是用软钢制成，表面镀锌以防腐蚀，且应无锈、伤、裂纹及气孔等缺点。

直脚穿钉（图1-13）

用于直线路。单钩穿钉（图1-14）用于终端杆。

弯钩穿钉（图1-15）用于弯钩架线。

在试验杆上为了装设试验螺丝和在只有30千赫以下载波回线的线路上做交叉时，可使用双钩穿钉。它的形状和尺寸如图1-16所示。

通信线路架在坡道上时，为增加线路强度，采用了坡度铁板如图1-17所示。跨越杆用的五孔铁板，试验杆用的三孔铁板如图1-18所示。

无伤裂、气孔等缺点，此外应合于规定的尺寸标准和规定的绝缘电阻、耐压、耐拉强度等标准。

4. 线担（横担）

横担为支持导线和瓷瓶之用，可分为木横担和铁横担两种。木横担多用于长途线路上，而铁横担多用在市内线路上。

木横担应选用坚固而耐久的木材，且需木纹顺直、无裂纹、虫蚀、死节等缺点。普通以干燥的栗、水曲柳、黄榆等木材制成。

通信线路上常用的木横担分为八线及四线两种，其尺寸一般如图1-12所示。

铁横担用软钢制成，表面镀锌以防锈蚀。

5. 瓷瓶穿钉、弯钩、三孔铁板、五孔铁板及坡度铁板

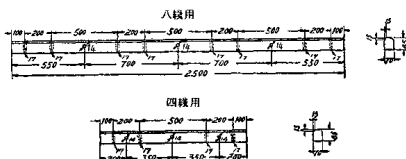
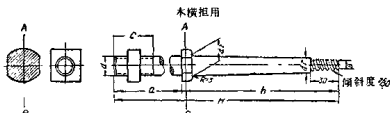
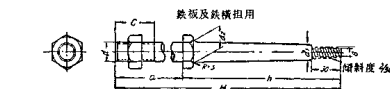


图 1-12 木横担



单位：毫米

图 1-13 瓷瓶穿钉

6. 铁撑角和铁拉板

为防止横担受到垂直方向不均匀力的作用而产生歪斜，采用了铁撑角。撑角的两端有二

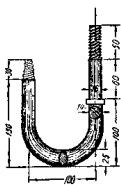


图 1-14 单钩穿钉

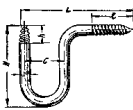


图 1-15 弯钩穿钉

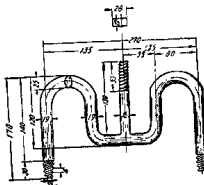


图 1-16 双钩穿钉

孔分別用穿釘固定到橫担上和电杆上。

在裝設兩根橫担以上的線路里为防止橫担歪斜，保持橫担間有一定的距离，使用了鐵拉板。

鐵擰角和鐵拉板都用軟鋼制成，表面鍍鋅以防腐蝕。它們的尺寸如图 1-19 和 1-20 所示。



图 1-17 坡度铁板

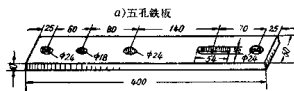
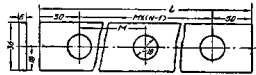


图 1-18 五孔及三孔铁板



图 1-19 鐵擰角



形状	M	N	L
600	600	孔数	$M(N-1)+60$

图 1-20 鐵拉板 单位：毫米

种 类	尺 寸	L	M
四 线 横 担		660	600
八 线 横 担		982	622

通信線路上固定橫担和固定擰角及拉板等的穿釘如图 1-21 所示，其尺寸如表 1-2 所示。

表 1-2

穿 钉 用 途	尺 寸 (毫米)		
	d	l	l ₀
装横扣用	13	200~400	110
装撑杆用	16	300~450	110
装双撑杆用	19	700	110
孔槽扣上装撑角或拉板	13	110	50
由拉杆上装撑角	13	150~250	50
装交叉铁板用	13	125	45
装三孔铁板用	16	135	50

为使穿钉能紧固
不动采用了垫板，其
外形及尺寸如图1-22
所示。

圆孔之内径依穿
钉直径而定，对16毫
米穿钉为18毫米，
对13毫米穿钉则为
14毫米。

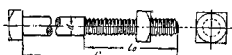


图 1-21 穿钉



图 1-22 垫板

7. 交叉铁板

交叉铁板为通信回线作交叉之用，用软钢制成，表面镀锌以防腐蚀，它的形状和尺寸如图1-23所示。

8. 拉线调整螺丝及拉线环

为调整拉线的松紧，在两侧拉线，三方和四方拉线下部设有拉线调整螺丝。它的两端螺扣的方向相反，因之可以用以调整拉线的松紧。

它是用软钢制成，表面镀锌以防腐蚀。它的形状和尺寸如图1-24和表1-3所示。

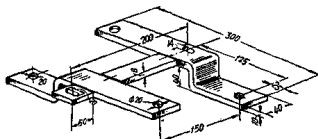
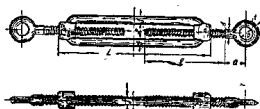


图 1-23 交叉铁板



拉线调整螺丝尺寸 单位：毫米

表 1-3

种 类 尺 寸	L	l	D	a	b	c	d	e	f	h	t
小	273	145	24	36	30	14	16	27	14	30	10
大	300	150	30	50	41	16	20	36	16	41	15

单方拉线不需要设调整螺丝，而在拉线下部使用拉线环。

9. 試驗螺絲

在試驗杆的導線上接入試驗螺絲以便于試驗回線的特性和查找障礙。試驗螺絲用銅制成，表面鍍鎳以防生銹，其形狀如圖1-25所示。

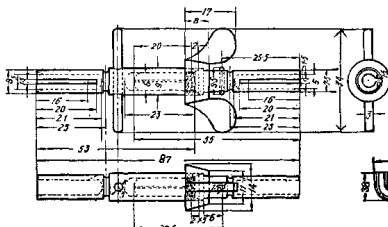


图 1-25 試驗螺絲

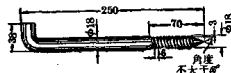


图 1-26 步杆釘

10. 步杆釘

在試驗杆、電纜分線杆以及其他需要常常上去工作的電杆上裝設步杆釘，以便于工作人員的上下。

步杆釘用軟鋼制成，表面鍍鋅以防腐蝕，它的形狀和尺寸如圖 1-26 所示。

§ 1·3 架空線路導線計算

1. 導線上由風壓和冰重所引起的負載

架空線路的導線要承受本身的重量，以及由风的压力和复冰时导线上冰的重量所形成的负载。

风的方向和平面物体垂直时，它作用到这物体上的压力可按下列經驗公式計算：

$$P = 0.09 V^2 \text{ 公斤/平方米} \quad (1-1)$$

式中 V ——风速（米/秒）

当計算圓柱体上所受到的风压时，则根据圓柱体的投影面上所受到的风压来計算。在圓柱体投影面上的风压为：

$$P_2 = 0.09 V^2 K \text{ 公斤/平方米}$$

式中 K 系考虑到气流要繞過圓柱体，因而使圓柱体受到的风压 比平面上受到的风压要减少一些的系数，通常取为 $2/3$ 。因此在導線的投影面上的风压是：

$$P_2 = 0.06 V^2 \text{ 公斤/平方米} \quad (1-2)$$

风速可由风速計測出，也可用风标來測定。表 1-4 給出了风标与风速之間的关系和用来确定风速的特征。

当導線上复冰时，由于冰的附加重量以及风压的增加，电杆及導線中的应力都将显著地增大。

在具有飽含水汽气流的条件下，当寒冷的天气驟然变为較暖和的天气时，導線上就会出現复冰。通信導線上复冰大体上是保持一到三昼夜，在个别情况下也有达 10 昼夜的。使導線上能够复冰的空气温度是 0°C 到 -8°C 的范围内。有冰凌时的风速有时达到 15—20 米/秒。計算电杆導線中的应力时，即將选择杆距和电杆尺寸时，必須考慮到气候条件。在設計电線路時，应认真掌握挂冰、风速、溫度变化等情况。

当導線上复有霜雪时，电杆和導線中的应力也将增大。

霜仅在導線及其周围空气的溫度不高于 0°C 时才形成，此时空气中的过冷的水点(雾)，

以級別和米/秒表示的風速及用以確定風速的基本标志

表 1·4

以級別表示的風速	風的名稱	以米/秒表示的風速	在陸地上和水面上的特徵
0	無風	0.5	煙垂直上升。水面絕對平靜。
1	微風	0.6~1.7	烟略向旁偏移。水面很平靜。
2	輕風	1.8~3.3	可見到一點兒風。
3	弱風	3.4~5.2	樹葉微動。水有微波。
4	和風	5.3~7.4	樹葉動。水波均勻，有時有白浪。
5	清風	7.5~9.8	樹子動。海面到處是白浪。
6	強風	9.9~12.4	樹彎曲。水花自浪頭跳出。
7	疾風	12.5~15.2	樹彎曲的很利害。波浪起伏，大浪之間有冒白沫的小浪，浪頭被風吹破。
8	暴風	15.3~18.2	折斷細小的樹枝。人不能頂風說話。逆風走行時必須彎腰。海上起大浪。
9	驟暴風	18.3~21.5	大樹也彎曲。海上浪頭非常大。
10	猛烈暴風	21.6~25.1	折斷樹木。
11	猛烈暴風	25.2~29	吹掉屋頂。
12	颶風	29以上	造成大破壞。

由於溫度下降，或由於氣壓較高地區流過來的空氣逐漸冷卻而達到飽和，過冷的水點接觸到溫度為0°C或更低的導線就凝結成霜。

當空氣的濕度較大，而又遇有微風將小水點帶到導線上時，在導線上就會堆積起大量的霜。霜大部分在導線的迎風的一面，若風向是順着線路的方向，則導線各面都均勻的被霜包圍。

至於雪，則不可能在導線上附着很多。

在架空電線路中常有挂冰、霜、雪同時發生的現象，如在冰層上有霜，在霜的針形空隙間又填滿了雪（有時可能積很多）等等。

導線上的冰和霜顯著地增加了通信回路的衰減，特別是對高頻電流。由於這個原因，在裝有十二路載波機的銅線回路上，增音站間的距離有時甚至要縮減到五十公里。

這樣一來，通信導線上的冰、霧和霜對線路的機械強度和回路的電氣參數都產生影響。

由於導線的自重、冰重和風壓所造成的負載通常是用所謂單位負載來表示。

長度1米，橫截面積1平方毫米的導線所承受的負載的公斤數稱為導線的單位負載，因此它的單位是公斤/米·平方毫米。

(1) 由於導線自重引起的單位負載：

$$\gamma_t = \frac{\gamma_0}{1000} \text{ 公斤}/\text{米}\cdot\text{平方毫米} \quad (1\cdot3)$$

式中 γ_0 ——導線材料的密度 克/立方厘米

故對鐵線來說： $\gamma_1 = 0.0078 \text{ 公斤}/\text{米}\cdot\text{平方毫米}$

對銅線來說： $\gamma_1 = 0.0089 \text{ 公斤}/\text{米}\cdot\text{平方毫米}$

雙金屬線： $\gamma_t = \frac{\gamma'_1 g_1 + \gamma'_2 g_2}{g_1 + g_2} \text{ 公斤}/\text{米}\cdot\text{平方毫米}$

式中 γ'_1 ——橫斷面積為 g_1 的金屬的單位負載；

γ'_2 ——橫斷面積為 g_2 的另一種金屬的單位負載。

(2) 由於導線復冰而引起的單位負載：

$$\gamma_t = \frac{\pi [(d+2b)^2 - d^2] \delta_2}{4 \times 1000 q} \text{ 公斤}/\text{米}\cdot\text{平方毫米} \quad (1\cdot4)$$

式中 δ_0 ——冰块的密度(克/立方厘米)

b ——复冰的厚度(毫米)

(3) 在复冰时由于导线自重和复冰所引起的单位负载:

$$\gamma_3 = \gamma_1 + \gamma_2 \text{ 公斤/米}\cdot\text{平方毫米} \quad (1.5)$$

(4) 在无复冰时由于风压而引起的单位负载:

$$\gamma_4 = \frac{P \cdot d}{1000 \times q} \text{ 公斤/米}\cdot\text{平方毫米} \quad (1.6)$$

式中 P ——作用在导线一平方米投影面积上的风压;

$$P = 0.06 u^2 \text{ (公斤/平方米)}$$

d ——导线直径(毫米);

q ——导线断面积(平方毫米)。

(5) 在复冰时由于风压而引起的单位负载:

$$\gamma_5 = \frac{P(d+2b)}{1000 \times q} \text{ 公斤/米}\cdot\text{平方毫米} \quad (1.7)$$

(6) 在无复冰时由于导线自重和风压而引起的单位负载:

$$\gamma_6 = \sqrt{\gamma_1^2 + \gamma_4^2} \text{ 公斤/米}\cdot\text{平方毫米} \quad (1.8)$$

(7) 在复冰时, 由于导线自重、风压和复冰而引起的单位负载:

$$\gamma_7 = \sqrt{\gamma_3^2 + \gamma_4^2} = \sqrt{(\gamma_1 + \gamma_2)^2 + \gamma_4^2} \text{ 公斤/米}\cdot\text{平方毫米} \quad (1.9)$$

2. 悬挂点在同一高度时导线的垂度、应力和长度计算

假設有一条架设在同一高度的

两电杆A、B上的导线(图1-27)。

假想从整条导线中取出一小段ds(图1-27), 根据平衡条件, 在x轴上和y轴上所有力的投影总和必等于零, 故得:

$$(T' + dT') \cos(\alpha + d\alpha) - T' \cos \alpha = 0 \quad (1.10)$$

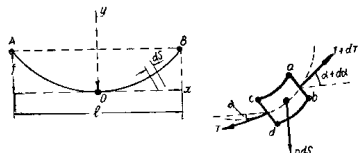


图 1-27 架设在同一高度的导线垂度

和

$$(T + dT) \sin(\alpha + d\alpha) - T \sin \alpha - P \cdot ds = 0 \quad (1.11)$$

这里 T' 是在断面cd上导线张力, $T + dT'$ 是在断面ab导线的张力, P 是每一米长导线的重量。

以 $\cos(\alpha + d\alpha) = \cos \alpha \cdot \cos d\alpha - \sin \alpha \sin d\alpha$ 代入 (1.10) 式得:

$$T \cos \alpha \cos d\alpha + dT \cos \alpha \cos d\alpha - T \sin \alpha \sin d\alpha - dT \sin \alpha \sin d\alpha - T' \cos \alpha = 0$$

因为 $\cos d\alpha \approx 1$, $\sin d\alpha \approx d\alpha$,

故上式成为:

$$T' \cos \alpha + dT \cos \alpha - T \sin \alpha \tan \alpha - dT \sin \alpha \tan \alpha - T' \cos \alpha = 0$$

略去二阶无穷小值 $dT \sin \alpha \tan \alpha$, 则上式成为:

$$dT' \cos \alpha - T' \sin \alpha \tan \alpha = 0$$

即

$$dT' \cos \alpha = 0 \quad (1.12)$$

因此, $T' \cos \alpha = \text{常数}$, 亦即架设着的导线任意断面上张力的水平分量为一常值。

以 $\sin(\alpha + d\alpha) = \sin \alpha \cos d\alpha + \cos \alpha \sin d\alpha$ 代入 (1.11) 中, 并用同样方法整理之则得:

$$dT' \sin \alpha + T' \cos d\alpha = P \cdot ds$$